

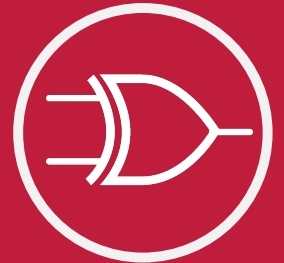


Technische
Universität
Braunschweig



Informatik für Ingenieure – VL 5

2. ENTWURF UND ANALYSE KOMBINATORISCHER SCHALTUNGEN



Letztes Mal:

Minimierung von Schaltfunktionen

Karnaugh-Veith Mappen

Quine-McCluskey

Heute:

Einführung zu MOSFETS

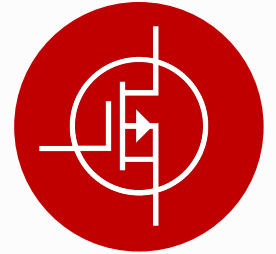
Einführung zu CMOS Logik

Schaltnetzrealisierung

Teile des heutigen Vortrags basiert auf der Vorlesungen von
Prof. H Michalik (TU Braunschweig)
Prof. M. Luisier (ETH Zurich)

und die folgende Bücher
Fundamentals of Digital Logic with VHDL Design, von Brown, Vranesic
Digital Design and Computer Architecture, von Harris, Harris

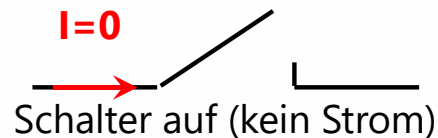
CMOS Logik



Eine Schaltfunktion f nimmt mehrere Variablen X_i , z.B. N , als Eingang und produziert eine einzige Variable Y als Ausgang mit X_i und $Y \in \{0, 1\}$. Die X_i und Y Variablen sind **Bits** genannt

Jede Variable X_i kann durch einen Schalter dargestellt werden:

$$X_i = 0$$



$$X_i = 1$$



Die Schaltfunktion f kann durch eine Kombination von Schaltern repräsentiert werden. Das Ergebnis ist **1**, wenn die am Ausgang Y gemessene Spannung, U_Y , der Speisespannung entspricht.

Frage: wie kann man solche einfache Schaltungen elektrisch realisieren?

Mit **MOS-Transistoren** (Halbleiterbauelemente)!

Was sind MOS Transistoren?

5.6

MOS

Metal-Oxide-Semiconductor

Metall-Oxid-Halbleiter

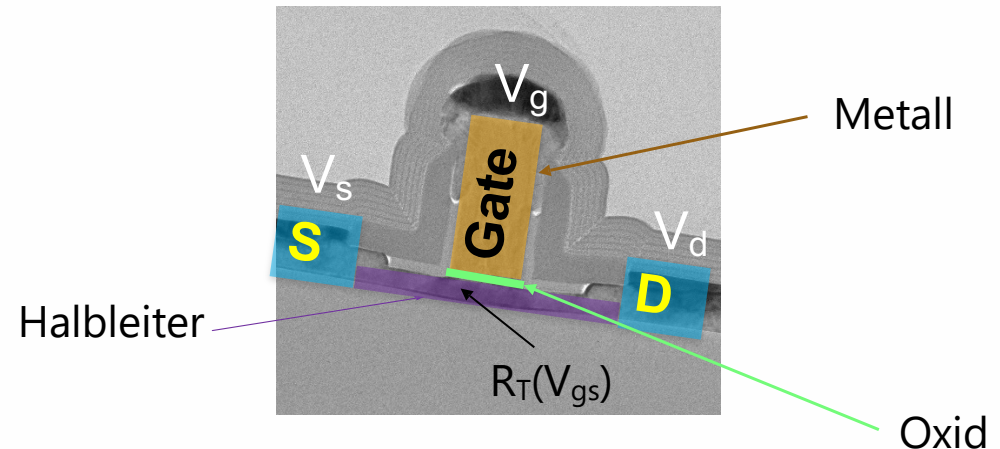
Transistor

Trans-Resistor

Steuerbarer Widerstand

Intel Single-Gate Transistor

R. Chau et al., *DRC*, (2003)



MOS Transistoren sind elektronische Bauelemente:

Sie besitzen 3 Kontakte (**S**ource, **D**rain und **G**ate)

Drei Spannungen können angelegt werden: V_s , V_d und V_g

Ladungsträger (Elektron/Loch) fließen von Source nach Drain

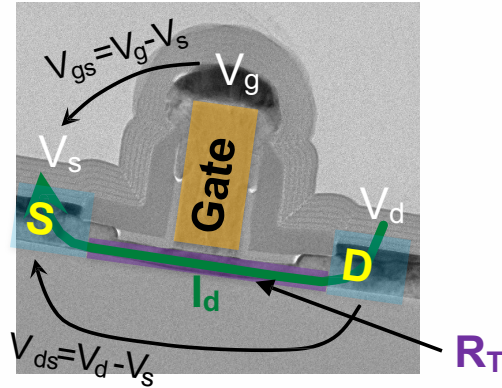
$R_T(V_{gs})$:
steuerbarer
Kanalwiderstand

Wie funktionieren MOS Transistoren?

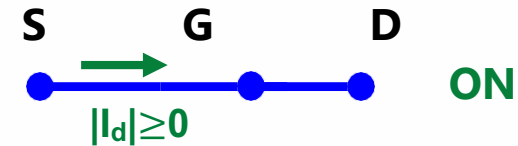
5.7

Intel Single-Gate Transistor

R. Chau et al., DRC, (2003)



$|V_{gs}| < |V_{th}|$ (Schwellspannung): Schalter auf



$|V_{gs}| > |V_{th}|$ (Schwellspannung): Schalter zu

MOS Transistoren verhalten sich wie Schalter:

Der Kanalwiderstand R_T wird durch V_{gs} gesteuert

Wenn $|V_{gs}| < |V_{th}|$ (Schwellspannung) ist der Kanal gesperrt (hochohmig, $R_T \rightarrow \infty$), der Schalter ist **auf**, es fließt kein Strom

Wenn $|V_{gs}| > |V_{th}|$ (Schwellspannung) ist der Kanal leitend ($R_T \rightarrow 0$), der Schalter ist **zu**, ein Strom I_d fließt (wenn $|V_{ds}| > 0$)

Complementary MOS (CMOS) Technologie (1)

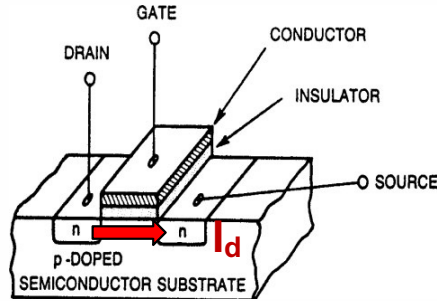
5.8

N-Typ (NMOS)

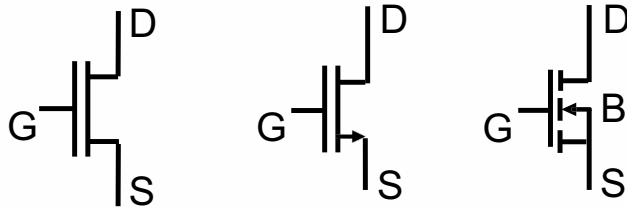
NMOS-
Transistor

Transistor
Struktur

N: negative
Ladungen
(Elektronen)



Schaltsymbol



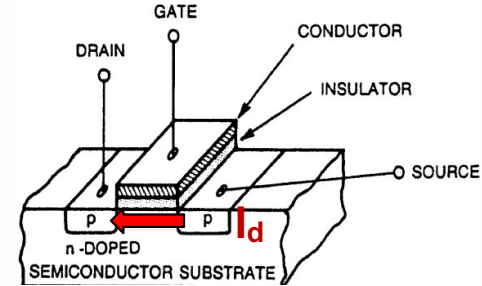
Source (S), Drain (D), Gate (G), Bulk (B)

P-Typ (PMOS)

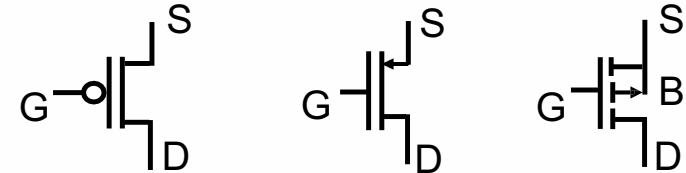
PMOS-
Transistor

Transistor
Struktur

P: positive
Ladungen
(‘Löcher’)



Schaltsymbol

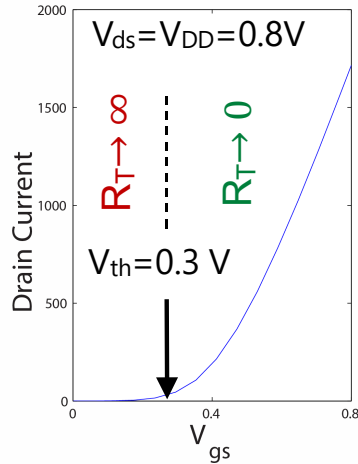


Source (S), Drain (D), Gate (G), Bulk (B)

Complementary MOS Technologie (2)

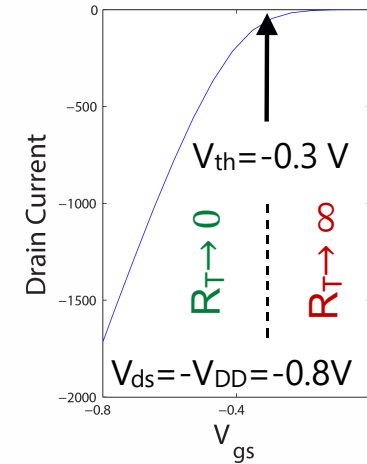
5.9

N-Typ (NMOS)



$R_T(V_{gs})$: Kanalwiderstand

P-Typ (PMOS)



Statische I-V Kennlinien

Drain Strom I_d in Abhängigkeit von V_{gs} , wenn die Speisespannung V_{DD} zwischen Drain und Source angelegt ist

I_d positiv, Schwellspannung V_{th} positiv

Statische I-V Kennlinien

Drain Strom I_d in Abhängigkeit von V_{gs} , wenn die Speisespannung $-V_{DD}$ zwischen Drain und Source angelegt ist

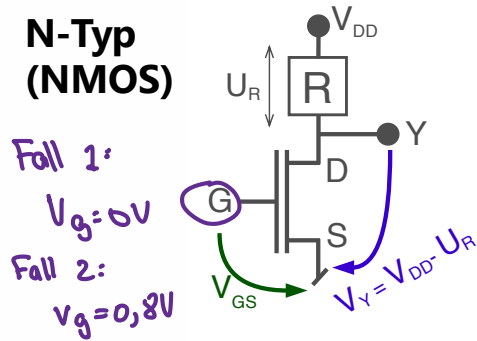
I_d negativ, Schwellspannung V_{th} negativ

Annahmen: wenn $|V_{gs}| \leq |V_{th}|$, Kanalwiderstand $R_T \rightarrow \infty$: Entsprechender Schalter **auf**
wenn $|V_{gs}| > |V_{th}|$, Kanalwiderstand $R_T \rightarrow 0$: Entsprechender Schalter **zu**

Complementary MOS Technologie (3)

5.10

N-Typ (NMOS)



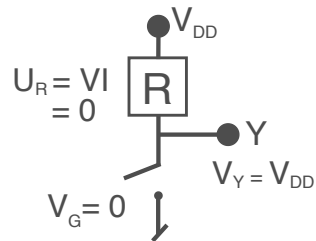
Gesucht:

Wert von Spannung V_Y (Ausgang) in Abhängigkeit von V_g (Eingang)

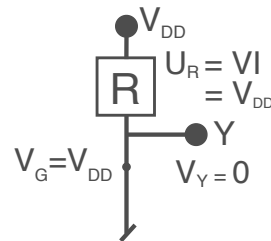
R: Serie Widerstand

V_{gs} : $V_g - V_s$ mit $V_s = 0$

Pull-down Schaltung (statisch)

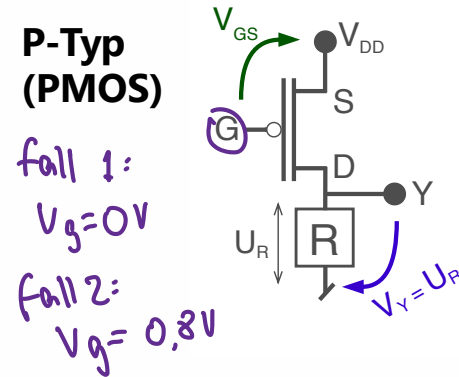


$V_{gs} = 0$, T inaktiv
 \rightarrow **kein Strom**
 $\rightarrow V_Y = V_{DD}$



$V_{gs} = V_{DD}$, T aktiv
 $\rightarrow I_d = V_{DD}/R$
 $\rightarrow V_Y = 0$

P-Typ (PMOS)



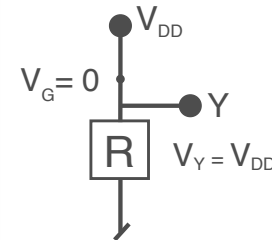
Gesucht:

Wert von Spannung V_Y (Ausgang) in Abhängigkeit von V_g (Eingang)

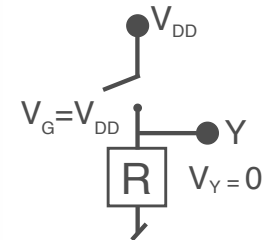
R: Serie Widerstand

V_{gs} : $V_g - V_s$ mit $V_s = V_{DD}$

Pull-up Schaltung (statisch)



$V_{gs} = -V_{DD}$, T aktiv
 $\rightarrow I_d = V_{DD}/R$
 $\rightarrow V_Y = V_{DD}$



$V_{gs} = 0$, T inaktiv
 \rightarrow **kein Strom**
 $\rightarrow V_Y = 0$

CMOS Zusammenfassung:

5.11

Für eine Gatespannung $|V_{gs}|$ **kleiner** als die Schwell-spannung $|V_{th}|$

Kanal zwischen Source und Drain abgeschnürt, also elektrisch nicht leitend (gesperrt, inaktiv) → **Schalter offen (kein Strom)**

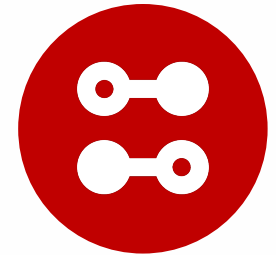
Spannungswerte ($V_{th} \sim 0.3 \text{ V}$ und $V_{DD} = 0.8 \text{ V}$) hängen von verwendete Technologie ab

Für $|V_{gs}|$ **größer** als $|V_{th}|$ ist der Kanal zwischen Source und Drain niederohmig, also elektrisch leitend (aktiv) → **Schalter geschlossen oder zu (Strom)**

In Schaltungen, wenn **PMOS** Transistoren aktiv sind, dann ist der Ausgang mit dem **High Pegel** gebunden (**Pull-up**)

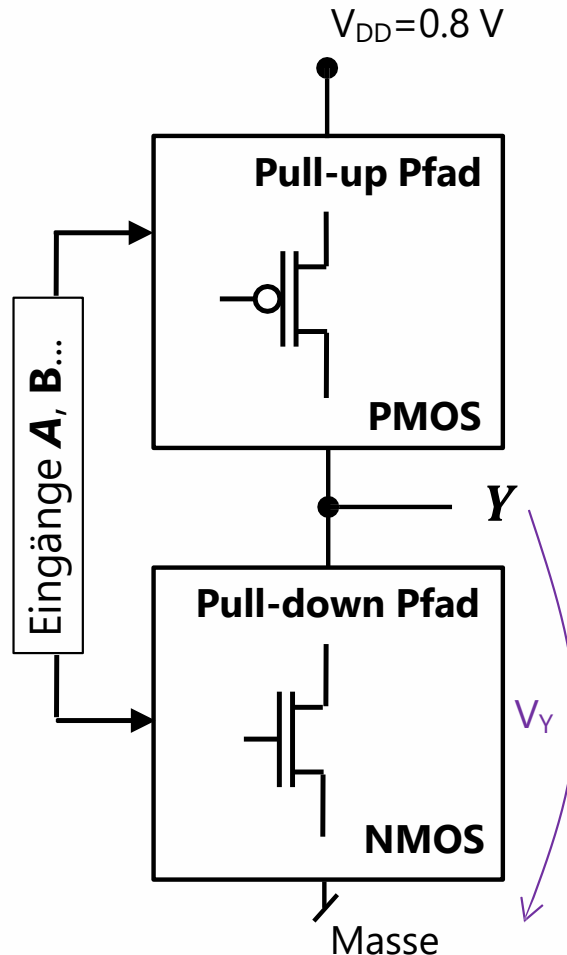
In gleicher Weise, wenn **NMOS** Transistoren aktiv sind, dann ist der Ausgang mit dem **Low Pegel** gebunden (**Pull-down**)

CMOS Schaltungen



Pull-up / Pull-down Prinzip

5.13



Konstruktion von gattern durch kombination von nmos- und pmos-transistoren

Bei ***m*** Eingängen gibt es ***m*** NMOS und ***m*** PMOS Transistoren

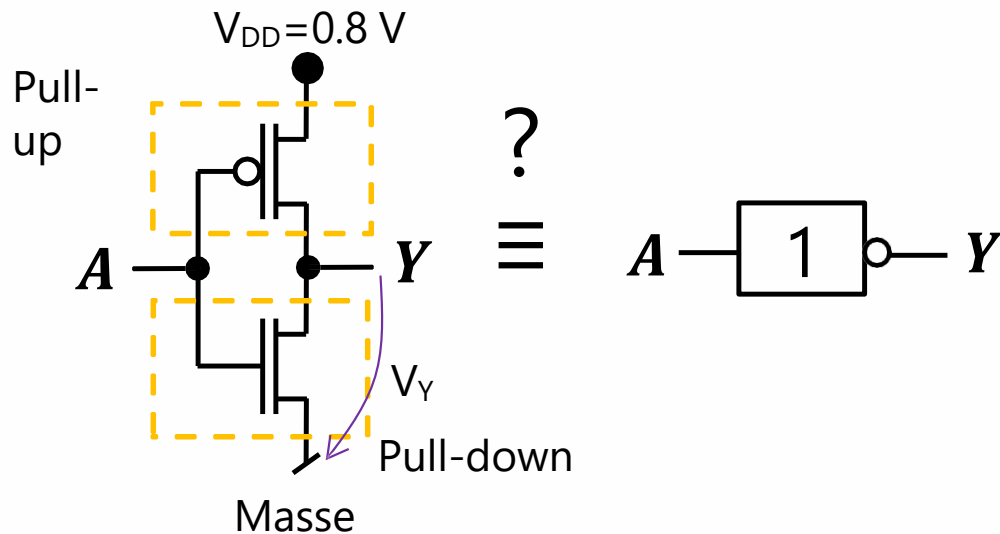
Wenn NMOS Transistoren in **Serie** geschaltet sind (UND-Verknüpfung), dann sind die entsprechenden PMOS **parallel** angeordnet

Wenn NMOS Transistoren **parallel** geschaltet sind (ODER-Verknüpfung), dann sind die entsprechenden PMOS in **Serie** angeordnet

NICHT Gatter in CMOS Technik (CMOS Inverter)

5.14

Schaltbild eines NICHT-Gatters mit
einem Eingang **A** und Ausgang **Y**



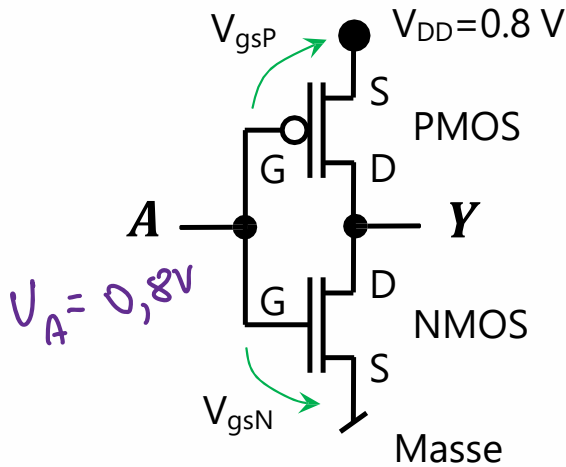
Wie sieht die Wahrheitstabelle
von diesem Schaltbild aus?

| A | Y |
|----------|----------|
| 0 | 1 |
| 1 | 0 |

Analysieren wir die einzelnen Fälle...

NICHT-Schaltbild Analyse: 1. Fall

5.15



Fall 1: A=1 (High Pegel, $V = 0.8 \text{ V}$)

→ $V_{gsP} = 0 \text{ V}$, PMOS nicht leitend (Schalter auf)

→ $V_{gsN} = 0.8 \text{ V}$, NMOS leitend (Schalter zu)

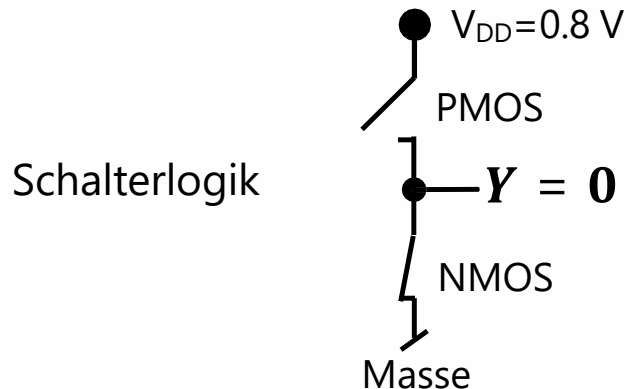
→ Ausgang mit der Masse gebunden **Y=0**

Spannungen

| A | PMOS | NMOS | Y |
|-------|-----------------------|-------------------|-----|
| 0.8 V | $ V_{gs} < V_{th} $ | $V_{gs} > V_{th}$ | 0 V |

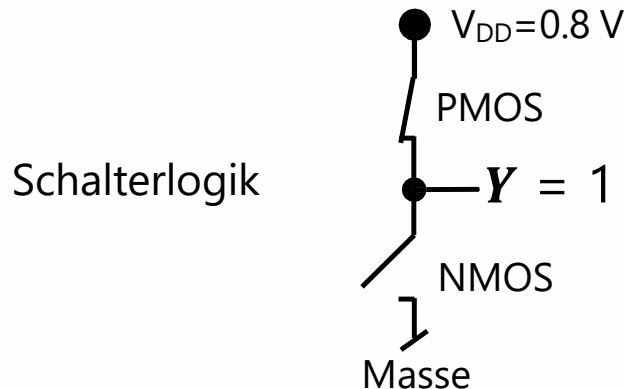
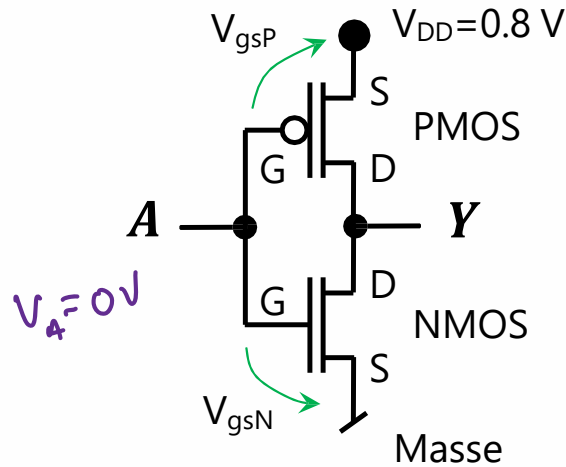
Wahrheitstabelle

| A | PMOS | NMOS | Y |
|---|-----------|------|---|
| 1 | offen/auf | zu | 0 |



NICHT-Schaltbild Analyse: 2. Fall

5.16



Fall 2: A=0 (Low Pegel, $V_A=0 V$)

→ $V_{gsP} = -0.8 V$, PMOS leitend (Schalter zu)

→ $V_{gsN} = 0 V$, NMOS nicht leitend (Schalter auf)

→ Ausgang mit V_{DD} gebunden **Y=1**

Wahrheitstabelle

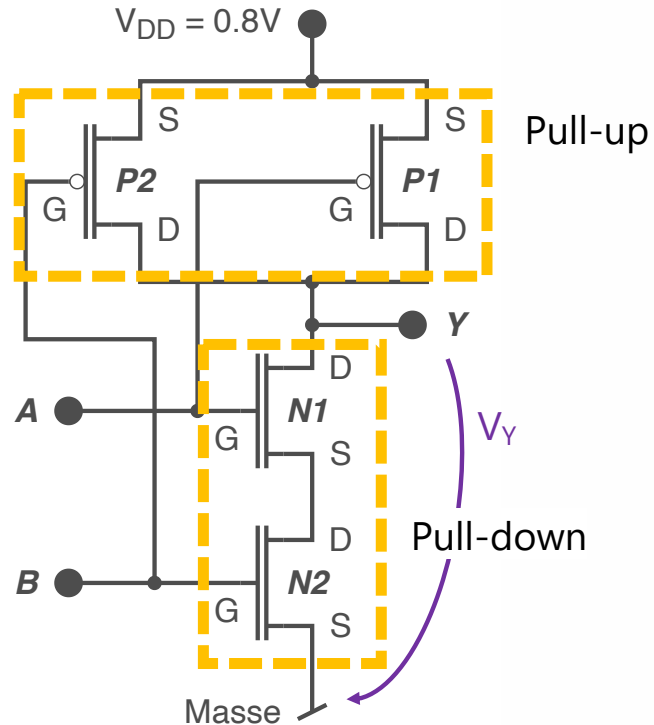
| A | PMOS | NMOS | Y |
|-----|-----------------------|-------------------|-------|
| 0 | zu | offen | 1 |
| 0 V | $ V_{gs} > V_{th} $ | $V_{gs} < V_{th}$ | 0.8 V |

zu: leitend / offen (oder auf): nicht leitend

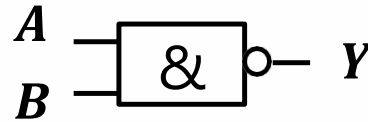
NAND-Gatter in CMOS Technik

5.17

Schaltbild eines NAND-Gatters mit zwei Eingängen **A** und **B** und einem Ausgang **Y**



?
≡

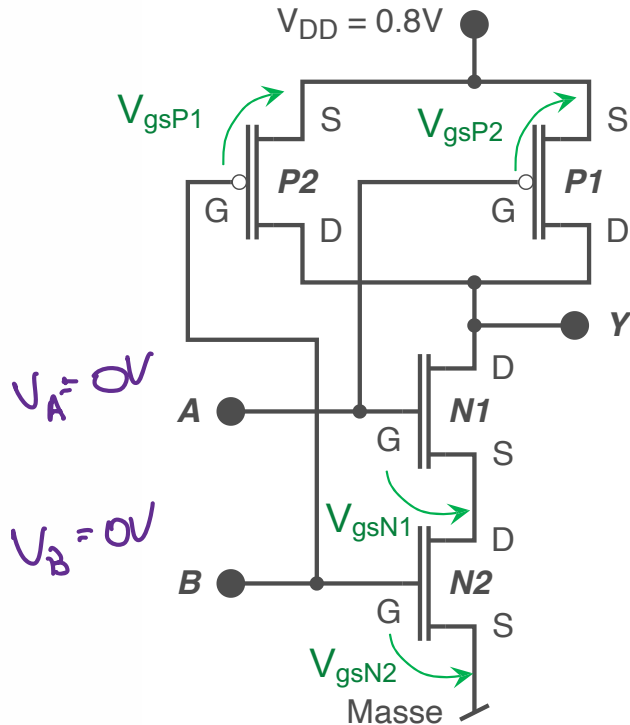


Kann diese Schaltung die
NAND Wahrheitstabelle
korrekt liefern?

| A | B | Y |
|---|---|---|
| 0 | 0 | 1 |
| 0 | 1 | 1 |
| 1 | 0 | 1 |
| 1 | 1 | 0 |

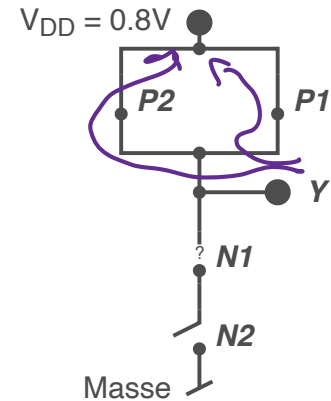
Analyse vom CMOS NAND-Gatter: 1. Fall

5.18



Fall 1: **A=0** (Low Pegel, $V_A=0$ V),
B=0 (Low Pegel, $V_B=0$ V)

- $V_{gsP1} = -0.8$ V, $V_{gsP2} = -0.8$ V,
 V_{gsN1} unbestimmt, $V_{gsN2} = 0$ V
- P1 leitend, P2 leitend,
N1 unbestimmt, N2 gesperrt
- Ausgang mit V_{DD} gebunden **Y=1**



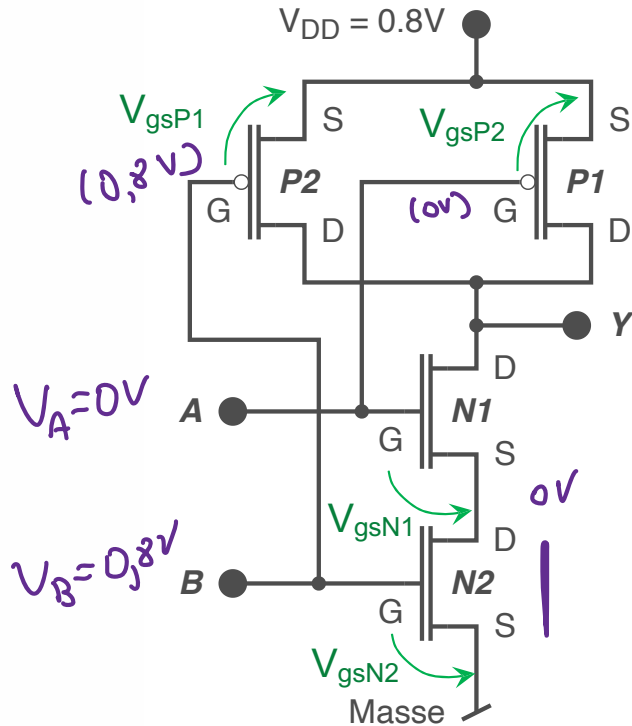
Wahrheitstabelle (Schalterlogik)

| A | B | P1 | P2 | N1 | N2 | Y |
|---|---|----|----|----|-------|---|
| 0 | 0 | zu | zu | NN | offen | 1 |

zu: leitend / offen: nicht leitend / NN: unbestimmt

Analyse vom CMOS NAND-Gatter: 2. Fall

5.19

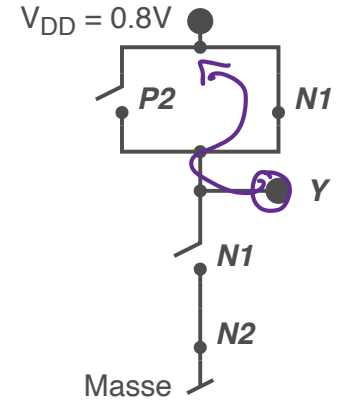


Fall 2: **A=0** (Low Pegel, $V_A=0\text{ V}$),
B=1 (High Pegel, $V_B=0.8\text{ V}$)

→ $V_{gsP1}=0\text{ V}$, $V_{gsP2}=-0.8\text{ V}$,
 $V_{gsN1}=0\text{ V}$, $V_{gsN2}=0.8\text{ V}$

→ P1 gesperrt, P2 leitend,
 N1 gesperrt, N2 leitend

→ Ausgang mit V_{DD} gebunden **Y=1**



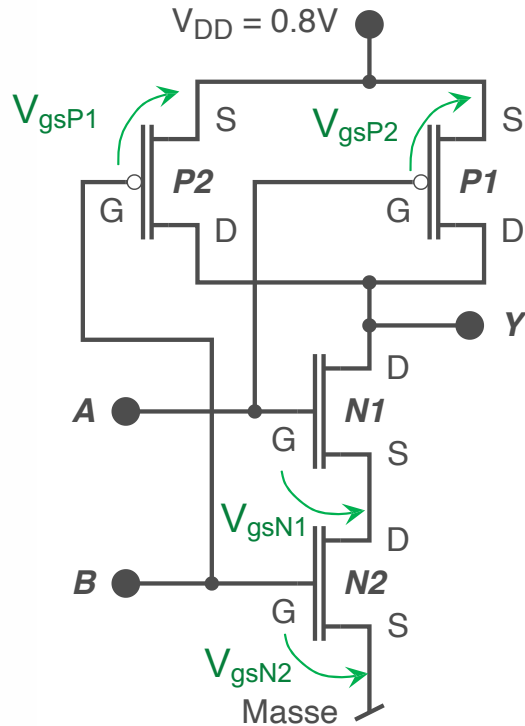
Wahrheitstabelle (Schalterlogik)

| A | B | P1 | P2 | N1 | N2 | Y |
|---|---|-------|----|-------|----|---|
| 0 | 1 | offen | zu | offen | zu | 1 |

zu: leitend / offen: nicht leitend / NN: unbestimmt

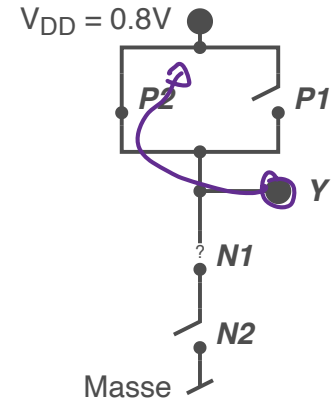
Analyse vom CMOS NAND-Gatter: 3. Fall

5.20



Fall 3: **A=1** (High Pegel, $V_B=0.8\text{ V}$),
B=0 (Low Pegel, $V_A=0\text{ V}$)

- $V_{gsP1} = -0.8\text{ V}$, $V_{gsP2} = 0\text{ V}$,
 V_{gsN1} unbestimmt, $V_{gsN2} = 0\text{ V}$
- P1 leitend, P2 gesperrt,
N1 unbestimmt, N2 gesperrt
- Ausgang mit V_{DD} gebunden **Y=1**



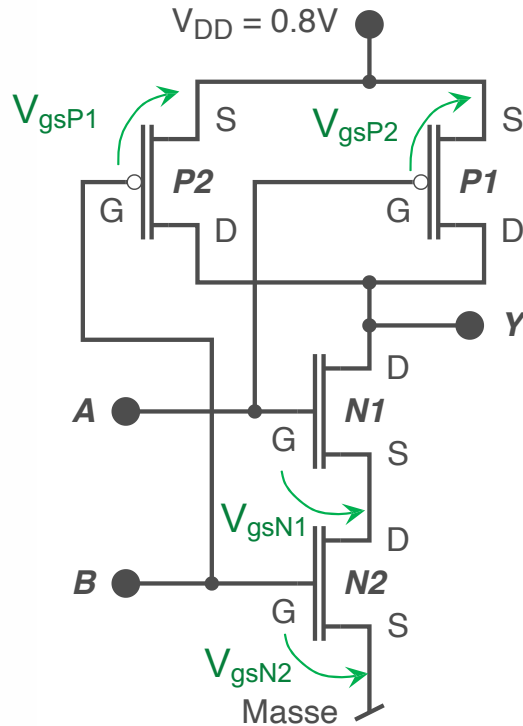
Wahrheitstabelle (Schalterlogik)

| A | B | P1 | P2 | N1 | N2 | Y |
|---|---|----|-------|----|-------|---|
| 1 | 0 | zu | offen | NN | offen | 1 |

zu: leitend / offen: nicht leitend / NN: unbestimmt

Analyse vom CMOS NAND-Gatter: 4. Fall

5.21



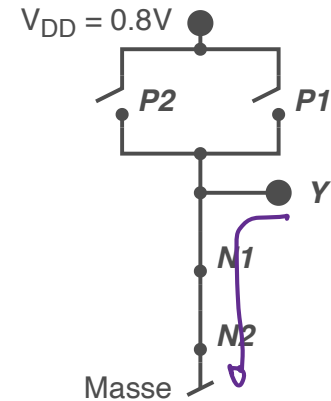
Fall 4: **A=1** (High Pegel, $V_B=0.8\text{ V}$),
B=1 (High Pegel, $V_B=0.8\text{ V}$)

→ $V_{gsP1}=0\text{ V}$, $V_{gsP2}=0\text{ V}$,

$V_{gsN1}=0.8\text{ V}$, $V_{gsN2}=0.8\text{ V}$

→ P1 gesperrt, P2 gesperrt,
N1 leitend, N2 leitend

→ Ausgang mit V_{DD} gebunden **Y=0**



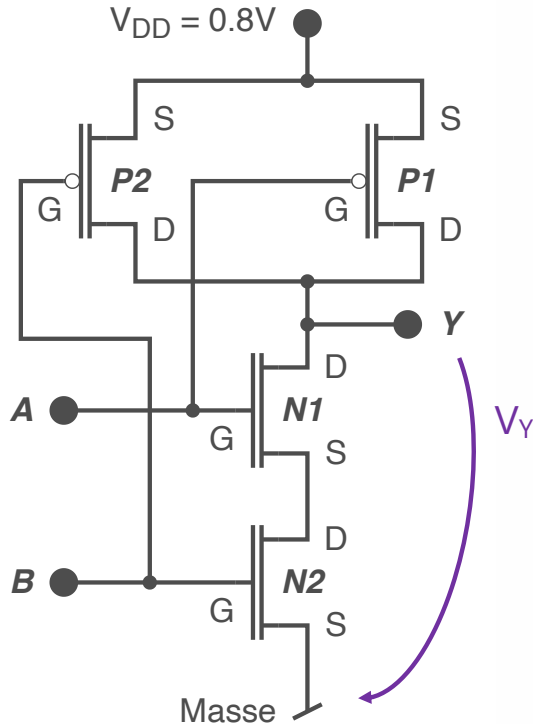
Wahrheitstabelle (Schalterlogik)

| A | B | P1 | P2 | N1 | N2 | Y |
|---|---|-------|-------|----|----|---|
| 1 | 1 | offen | offen | zu | zu | 0 |

zu: leitend / offen: nicht leitend

NAND-Gatter in CMOS Technik: Zusammenfassung

5.22



Mit der entworfenen CMOS Schaltung wird die gewünschte Wahrheitstabelle realisiert

Wahrheitstabelle (Schalterlogik)

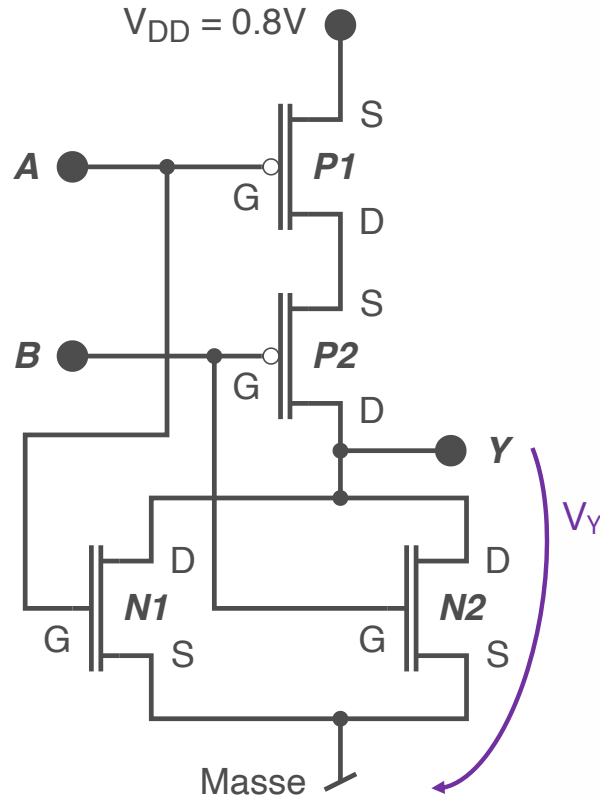
| A | B | P1 | P2 | N1 | N2 | Y |
|---|---|-------|-------|-------|-------|---|
| 0 | 0 | zu | zu | NN | offen | 1 |
| 0 | 1 | offen | zu | offen | zu | 1 |
| 1 | 0 | zu | offen | NN | offen | 1 |
| 1 | 1 | offen | offen | zu | zu | 0 |

zu: leitend / offen: nicht leitend / NN: unbestimmt

Nur wenn **A=B=1** ist der Ausgang **Y** mit der Masse gebunden

NOR-Gatter in CMOS Technik

5.23



Nehmen Sie sich ein paar Minuten um diese Schaltung zu analysieren!

Wie sieht ihre Wahrheitstabelle aus?

Wahrheitstabelle (Schalterlogik)

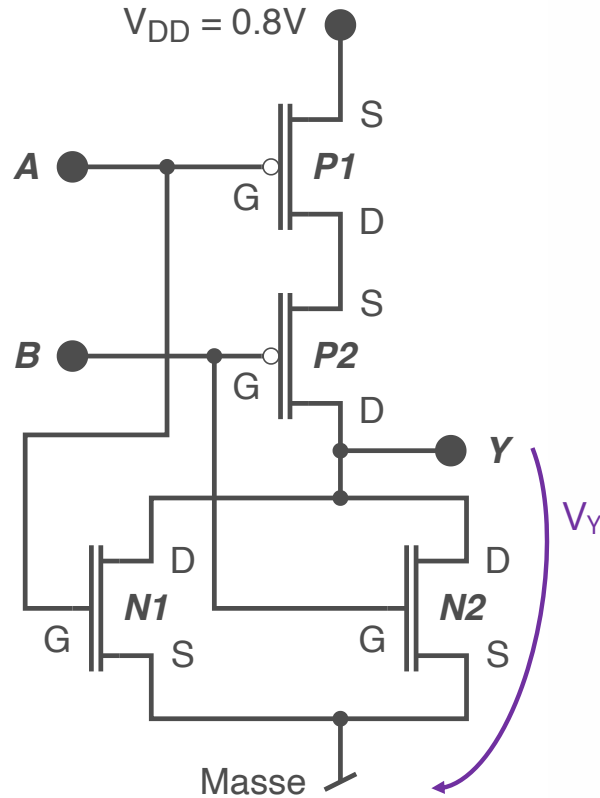
| A | B | P1 | P2 | N1 | N2 | Y |
|---|---|----|----|----|----|---|
| 0 | 0 | | | | | |
| 0 | 1 | | | | | |
| 1 | 0 | | | | | |
| 1 | 1 | | | | | |

zu: leitend / offen: nicht leitend / NN: unbestimmt

Der Ausgang **Y** ist entweder mit V_{DD} oder der Masse gebunden

NOR-Gatter in CMOS Technik

5.24



Nehmen Sie sich ein paar Minuten um diese Schaltung zu analysieren!

Wie sieht ihre Wahrheitstabelle aus?

Wahrheitstabelle (Schalterlogik)

| A | B | P1 | P2 | N1 | N2 | Y |
|---|---|-------|-------|-------|-------|---|
| 0 | 0 | zu | zu | offen | offen | 1 |
| 0 | 1 | zu | offen | offen | zu | 0 |
| 1 | 0 | offen | NN | zu | offen | 0 |
| 1 | 1 | offen | NN | zu | zu | 0 |

zu: leitend / offen: nicht leitend / NN: unbestimmt

Der Ausgang **Y** ist entweder mit V_{DD} oder der Masse gebunden

Fan-Out & Fan-In

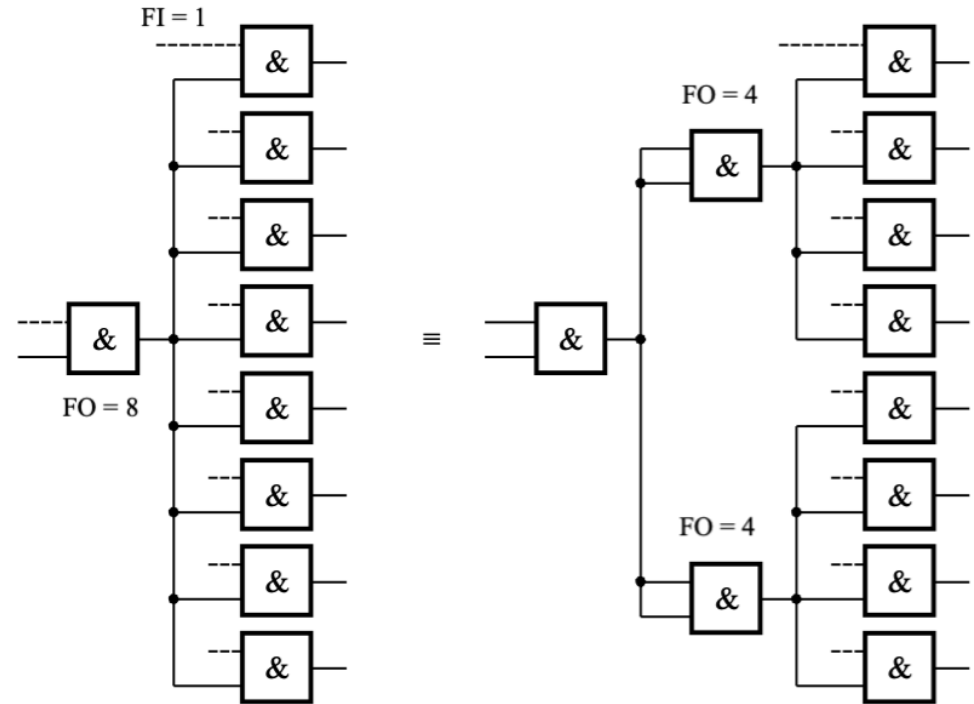
5.25

FAN-OUT (FO, Ausfächerungsfaktor, Ausgangslastfaktor) ist die normierte Ausgangsbelastbarkeit.

Die Normierung bezieht sich auf den Strom, den ein Eingang einer einfachen Schaltung, um eine „1“ oder „0“ richtig darstellen zu können.

Gatter, deren Eingänge eine größere Last darstellen werden mit einem "FAN-IN" (FI) > 1 gekennzeichnet.

FanOut muss größer gleich sein als die Summe aller FanIn

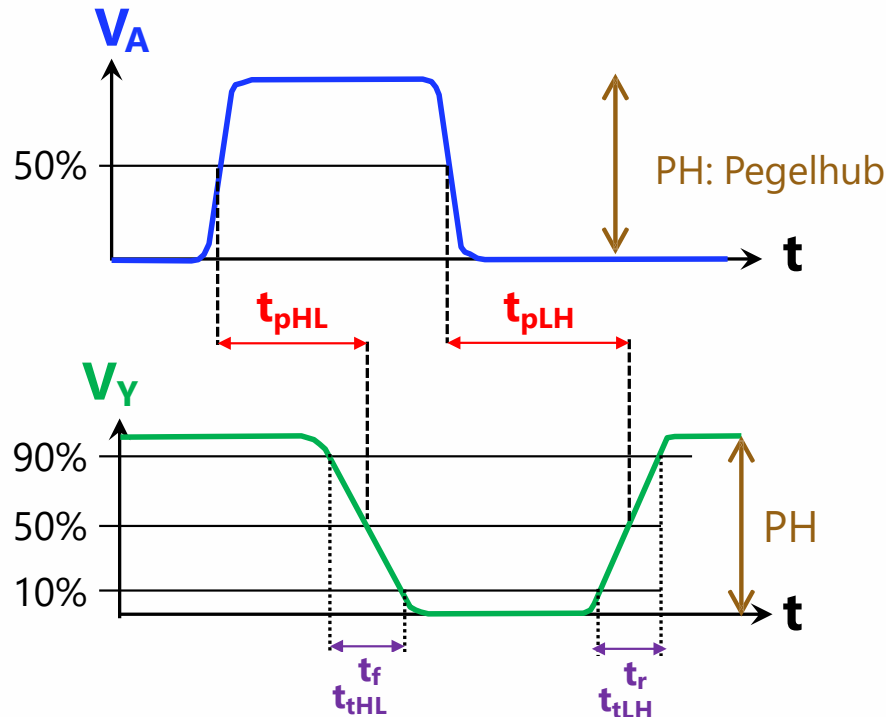


Wie schnell schalten CMOS Gatter?

5.26

CMOS Gatter können nicht unendlich schnell schalten.

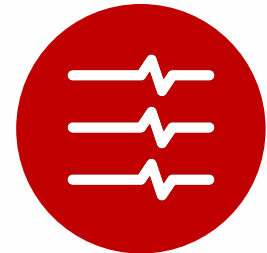
Ladungen (Elektronen und Löcher) müssen bewegt werden, was Laufzeit Verzögerungen verursacht



Zeitlaufdiagramm eines CMOS Inverters im dynamischen (zeitabhängigen) Betrieb

Die t_{pHL} und t_{pLH} Verzögerungszeiten hängen von den Transistoreigenschaften ab

Glitches



Störimpulse (glitches)

5.28

Störimpulse - Eine Änderung eines Eingangs verursacht mehrere Änderungen des Ausgangs

Können durch geeignete Entwurfsdisziplin entschärft werden

Können noch auftreten, richten aber keinen Schaden an

Bei Synchroner Entwurf (später) kann Ausnahmen geben

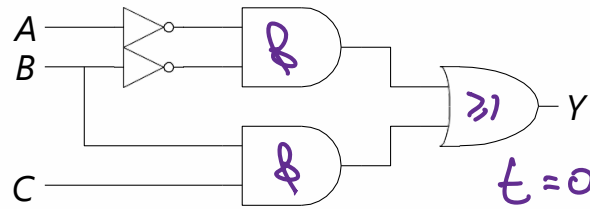
Sollten aber im Vorfeld erkannt werden

Sichtbar im Timing-Diagramm

Störimpulse Beispiel

5.29

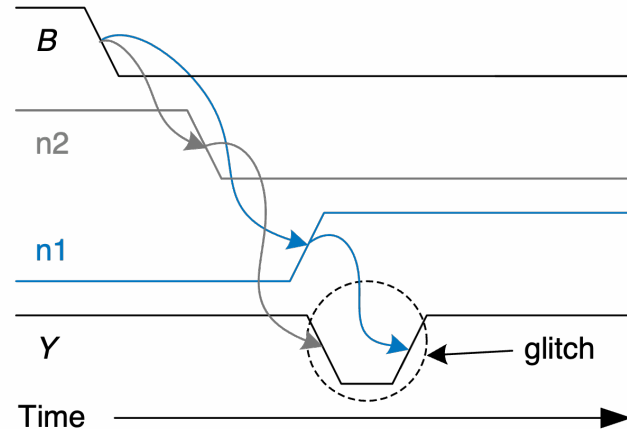
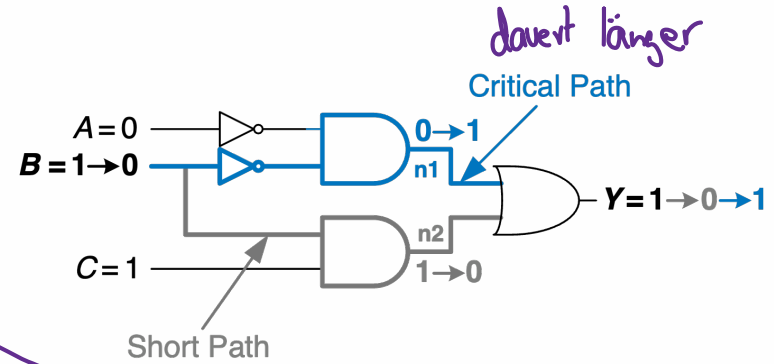
Was passiert, wenn $A = 0$, $C = 1$, und B fällt von $1 \rightarrow 0$?



| Y C | AB | | | |
|--------|----|----|----|----|
| | 00 | 01 | 11 | 10 |
| 0 | 1 | 0 | 0 | 0 |
| 1 | 1 | 1 | 1 | 0 |

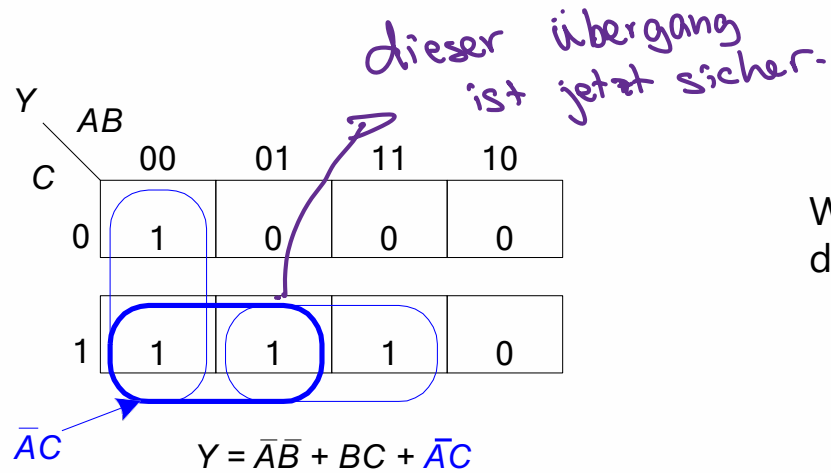
$$Y = \bar{A}\bar{B} + BC$$

$t=0$ ABC
 011
 $t=1$ 001

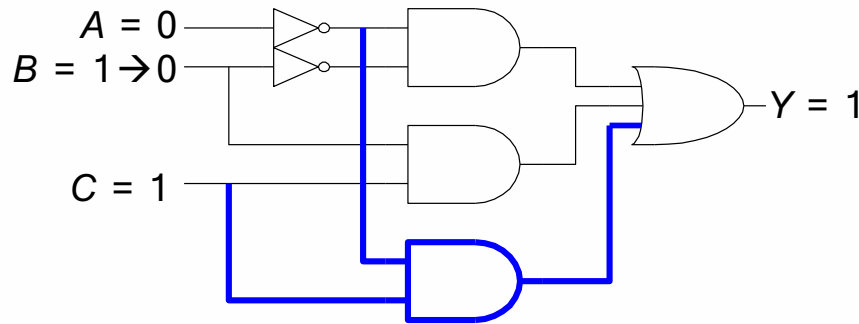


Störimpuls beseitigen

5.30



Wenn B fällt von 1→0, gibt das blaue UND-Gatter während des gesamten Übergangs 1 aus. Störimpuls vermeidet!



Im Allgemeinen kann eine Störung auftreten, wenn eine Änderung in einer einzelnen Variablen die Grenze zwischen zwei primären Implikanten in einer K-Map überschreitet.

Wir können den Glitch beseitigen, indem wir der K-Map redundante Implikanten hinzufügen, um diese Grenzen abzudecken. Dies ist natürlich mit zusätzlichen Hardwarekosten verbunden.

Minimierung von Logik Gattern

5.31

Die vorgestellten Verfahren führen auf Kanonische Darstellungen, die z.B. für PALs interessant sind.

Aus verschiedenen Gründen (z.B. Glitches) nimmt man manchmal nicht die minimale Form.

Für FPGAs, Standardzellen und Full-Custom Designs versucht man, die angebotenen Ressourcen (z.B. auch gemischte Gatter) möglichst optimal zu nutzen.

Man nennt diesen Vorgang '**Technology Mapping**'

Es handelt sich um komplizierte **Optimierungsverfahren**, die die logische Funktion mit den zur Verfügung stehenden Ressourcen implementieren und dabei z.B. die Chipfläche oder die Verzögerung minimieren.

Multilevel-Logik

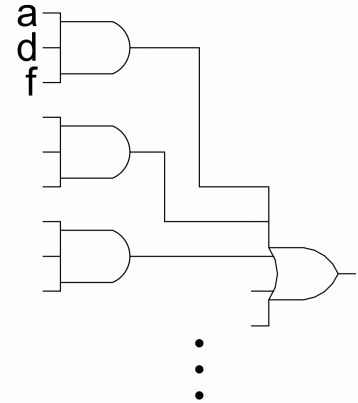
5.32

Beispiel: minimierte SoP Form

$$x = \mathbf{adf} + \mathbf{aef} + \mathbf{bdf} + \mathbf{bef} + \mathbf{cdf} + \mathbf{cef} + \mathbf{g} \quad (2\text{-Ebenen})$$

Kosten: 1x ODER7, 6x UND3 => ~50 Transistoren

Verzögerung: ODER7 Verzögerung + UND3 Verzögerung

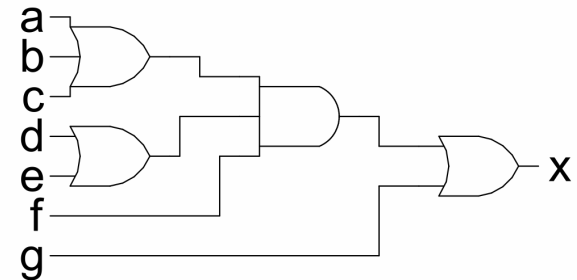


Faktorierte Form:

$$x = (\mathbf{a + b + c})(\mathbf{d + e})\mathbf{f + g} \quad (3\text{-Ebenen})$$

Kosten: 1x ODER3, 2x ODER2, 1x UND3 => ~20 Transistoren

Verzögerung: ODER3 + ODER2 + UND3 Verzögerung

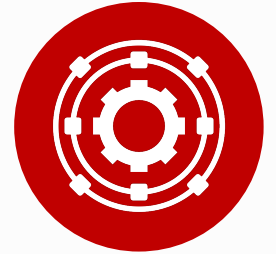


Was ist schneller?

Im Allgemeinen: Die Verwendung mehrerer Ebenen (mehr als 2) senkt die Kosten. Manchmal auch Verzögerung.

Manchmal ist es ein Kompromiss zwischen Kosten und Verzögerung.

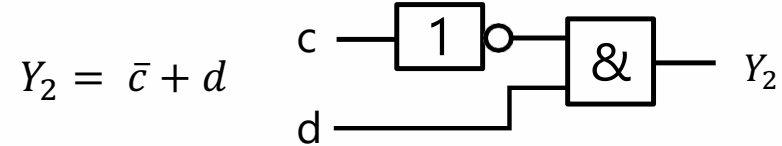
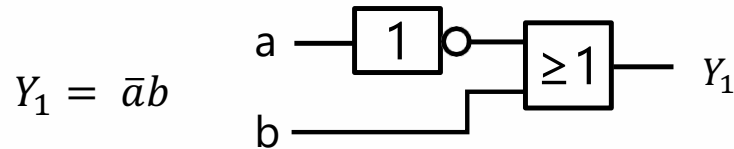
Schaltnetzrealisierung



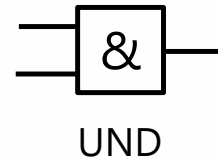
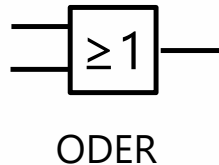
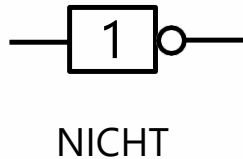
Schaltnetzrealisierung

5.34

Bis jetzt haben wir DNF und KNF studiert:



Dass heisst, wir brauchen 3 Typen von Gatter, und 2 Ebenen,
um jede Funktion Schaltnetz realisieren zu können



Gibt's andere Möglichkeiten?

Einige Gatter sind universell - sie können jede Funktion realisieren

NAND Gatter können direkt jede logische Funktion oder jedes Schaltnetz in disjunktiver Normalform (DNF) realisieren.

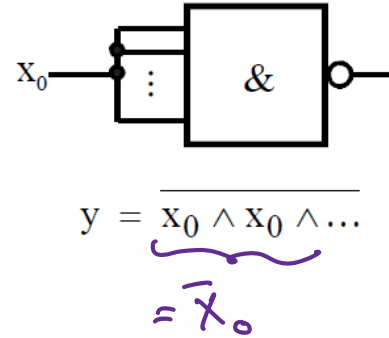
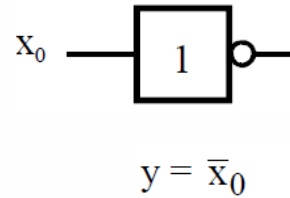
NOR Gatter können jede logische Funktion oder jedes Schaltnetz in konjunktiver Normalform (KNF) realisieren.

Topologie und Eingangs-/Ausgangsvariablen bleiben bei diesen Transformationen gleich, nur die Zwischenwerte werden invertiert.

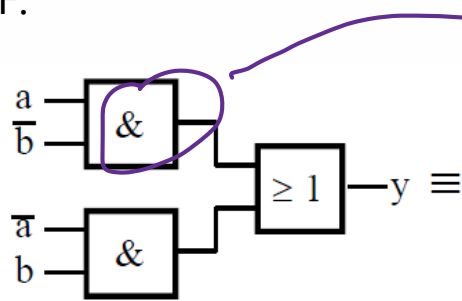
Realisierung einer DNF mit NAND Gattern

5.36

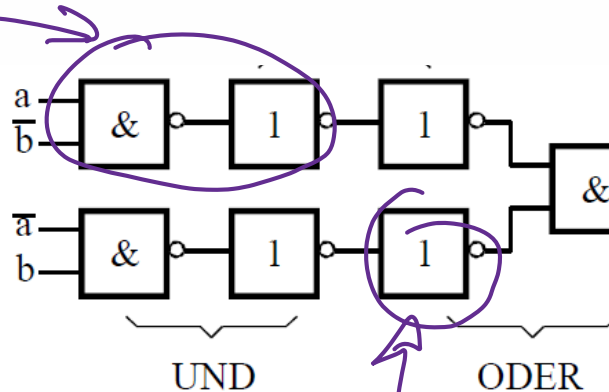
Negation Äquivalent:



DNF:

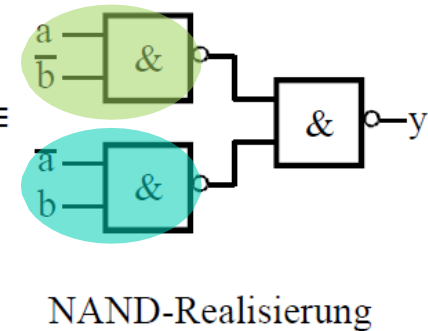


$$y = a\bar{b} + \bar{a}b$$



$$a\bar{b} = \overline{a \text{ NAND } \bar{b}}$$

$$x + y = \overline{(\bar{x})(\bar{y})}$$

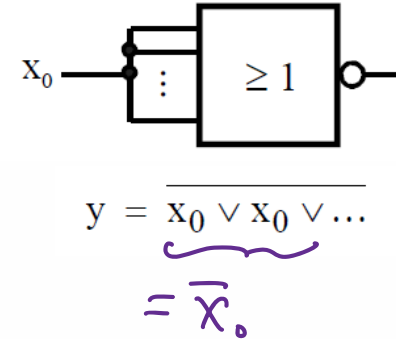
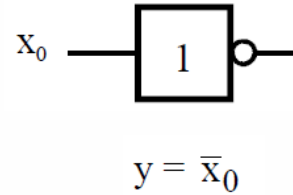


$$y = \overline{(\overline{a\bar{b}})(\overline{\bar{a}b})}$$

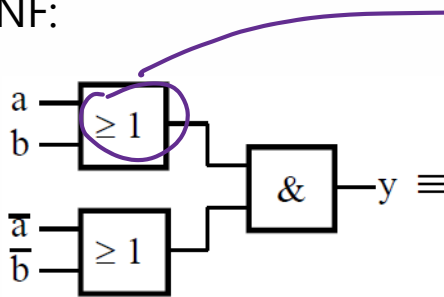
Realisierung einer KNF mit NOR Gattern:

5.37

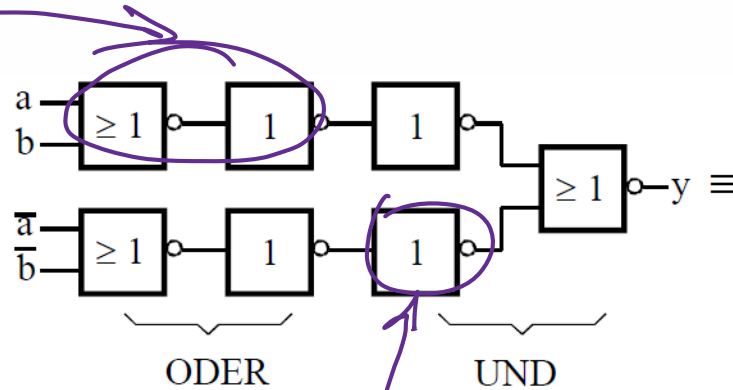
Negation Äquivalent:



KNF:

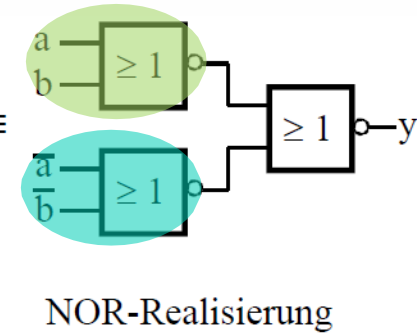


$$y = (a + b)(\bar{a} + \bar{b})$$



$$(a + b) = \overline{\bar{a} \text{ NOR } \bar{b}}$$

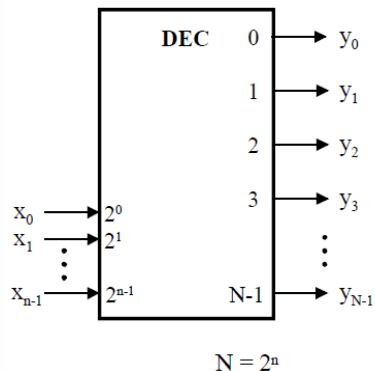
$$xy = \overline{(\bar{x} + \bar{y})}$$



$$y = \overline{\overline{(a + b)} + \overline{(\bar{a} + \bar{b})}}$$

Aufgabe des **Decodierers** ist jeder binär codierten Eingangskombination eine eindeutige Ausgangsleitung mit "1"-Belegung zuzuordnen. Damit können z. B: Zeilen bzw. Spalten im Speicherelementen, die in Matrixform angeordnet sind, selektiert werden.

Die Ausgangsfunktionen $y_{n-1} \dots y_0$ stellen den vollständigen Satz der Mintermfunktionen dar. Sie sind daher nicht minimierbar aber allein mit Konjunktionen realisierbar.

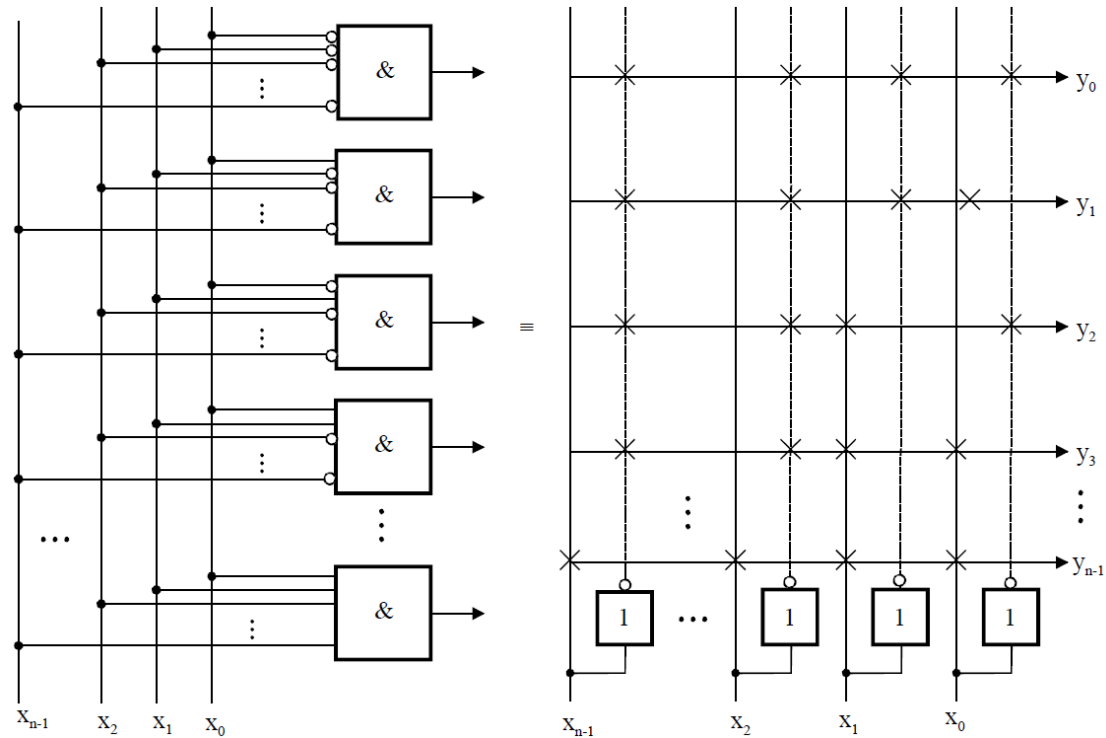


| x_{n-1} | ... | x_1 | x_0 | y_{N-1} | ... | y_3 | y_2 | y_1 | y_0 |
|-----------|-----|-------|----------|-----------|-----|-------|----------|----------|----------|
| 0 | ... | 0 | 0 | 0 | ... | 0 | 0 | 0 | 1 |
| 0 | ... | 0 | 1 | 0 | ... | 0 | 0 | 1 | 0 |
| 0 | ... | 1 | 0 | 0 | ... | 0 | 1 | 0 | 0 |
| 0 | ... | 1 | 1 | 0 | ... | 1 | 0 | 0 | 0 |
| \vdots | | | \vdots | \vdots | | | \vdots | \vdots | \vdots |
| 1 | ... | 1 | 1 | 1 | ... | ... | 0 | 0 | 0 |

Decodierer

5.39

Die Realisierung mit UND-Gattern (n Eingänge) und als verdrahtete Logik.

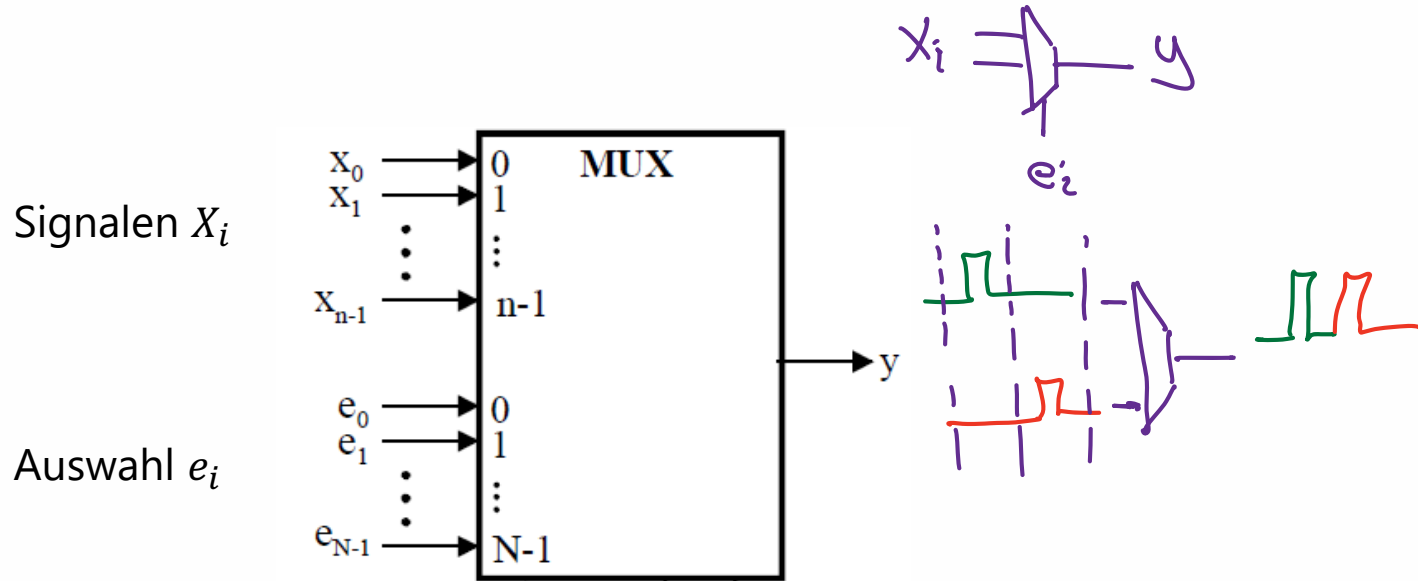


Multiplexer

5.40

Mit den "Auswahleingängen" $x_{n-1} \dots x_0$ wird **einer von $N = 2^n$ binären Eingangswerten e_i dem Ausgang y zugeordnet.**

Die Realisierung ist wie beim Decoder mit einem zusätzlichen Eingang für die e_i an jedem UND Gatter und einer Disjunktion über alle UND-Gatter-Ausgänge.

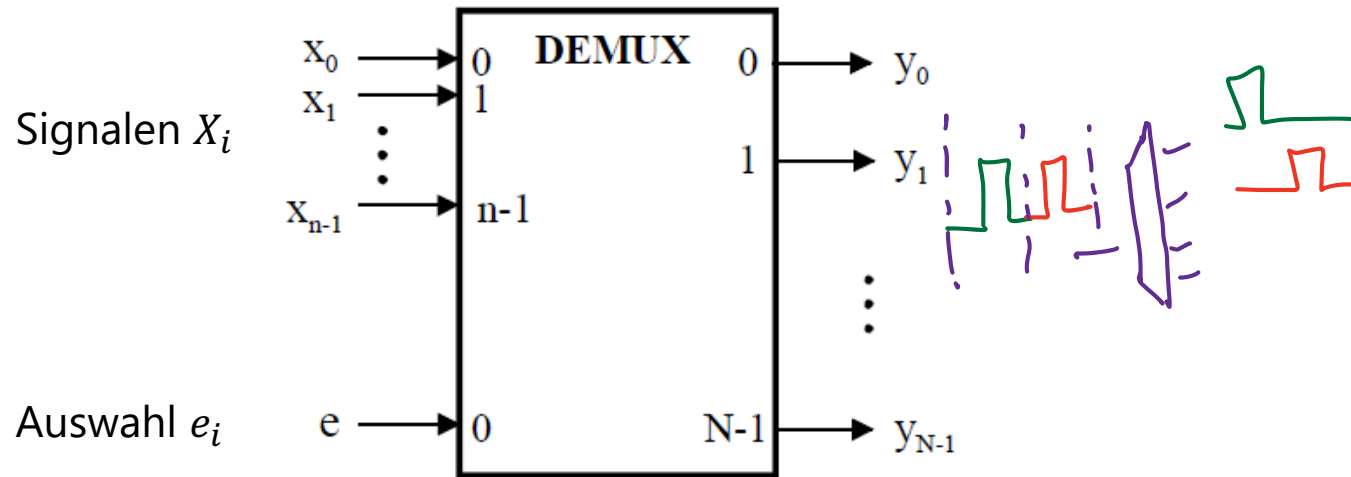


De-Multiplexer

5.41

Aufgabe des De-Multiplexers ist, den durch e gegebenen binären **Eingangswert eindeutig einem der Ausgänge $y_{N-1} \dots y_0$ zuzuordnen**, der durch die "Auswahleingänge" $x_{n-1} \dots x_0$ ausgewählt wird.

Realisierung wie beim Decoder mit zusätzlichem Eingang e an jedem UND-Gatter.



Bitstellenvergleich

5.42

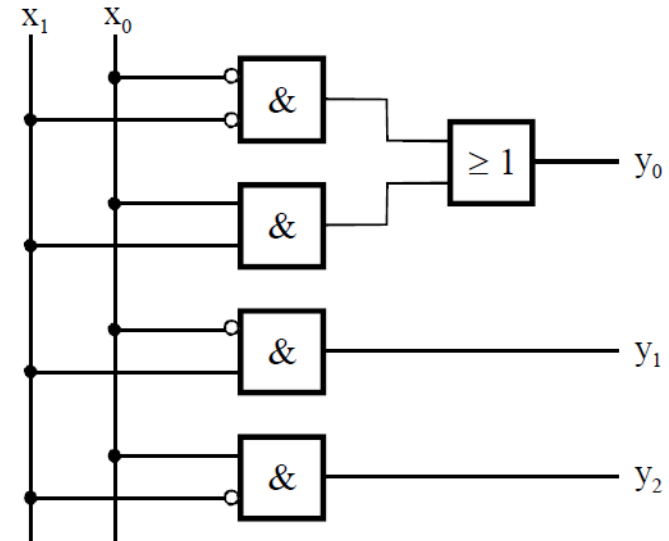
Das Bild zeigt Funktionstabelle und Realisierung eines **Vergleichers** für eine Bitstelle

| x_1 | x_0 | y_2 | y_1 | y_0 |
|-------|-------|-------|-------|-------|
| 0 | 0 | 0 | 0 | 1 |
| 0 | 1 | 1 | 0 | 0 |
| 1 | 0 | 0 | 1 | 0 |
| 1 | 1 | 0 | 0 | 1 |

$y_0 = 1$ für $x_1 = x_0$

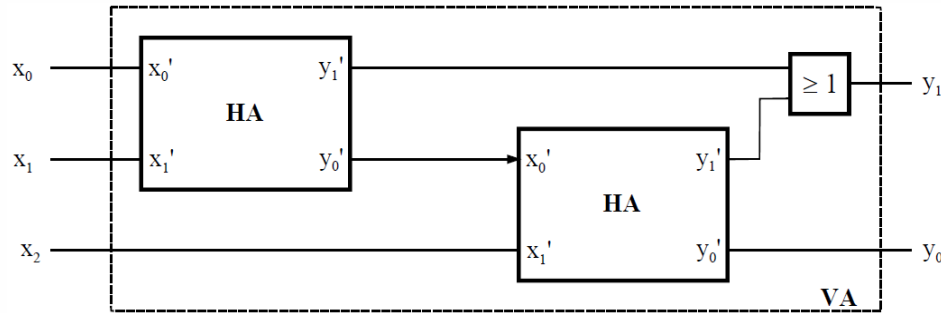
$y_1 = 1$ für $x_1 > x_0$

$y_2 = 1$ für $x_1 < x_0$



Im ersten Teil von Kapitel 2 wurde bereits die Realisierung der Funktion **Volladdierer** mit Addition zweier Binärstellen und Eingangsübertrag sowie Additionsergebnis und Übertrag als Ausgängen als Beispiel vorgestellt.

Der **Halbaddierer** realisiert die binäre **Addition ohne Eingangsübertrag** aber mit Ausgangsübertrag. Durch **Kaskadierung von zwei Halbaddierern** lässt sich wiederum der **Volladdierer** aufbauen.



Der Volladdierer (DNF, minimiert) braucht viele Gattern aber nur 2 Ebenen.

Der Volladdierer aus Halbaddierern benutzt weniger Gattern, aber bis zu 5 Ebenen brauchen.

Allerdings weist dieser eine höhere Stufenanzahl (längere Laufzeit) auf.

Ripple-Carry Addierer

5.44

Um einen mehrstelligen Addierer aufzubauen, kann mehrere Volladdierer kaskadieren

Vorteil

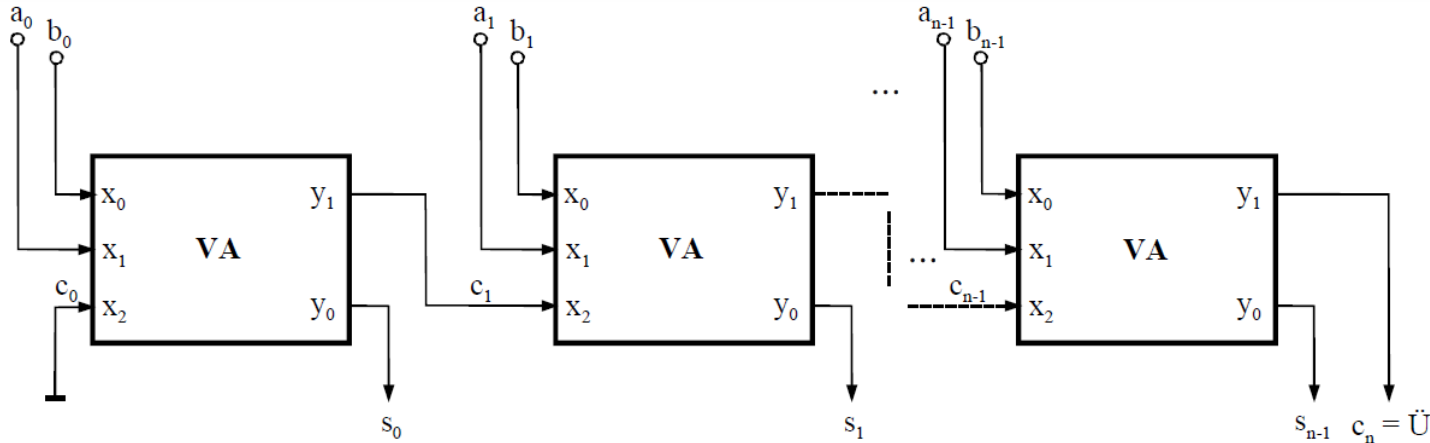
einfache und modulare Aufbau.

Nachteile:

Verzögerung der Übertragung

Mangel an Parallelität

Flächenbedarf



Subtrahierer

5.45

Für einen „Vollsubtrahierer“ muss gegenüber dem Volladdierer nur die Funktion y_1 (Übertrag) geändert werden.

Um einen mehrstelligen Subtrahierer aufzubauen, kann man im Prinzip auch die Subtraktion als Addition einer Zahl im 2er Komplement mit einem ripple-carry-adder durchführen.

Der Eingangsübertrag wird dabei auf „1“ gelegt ($= -1$) und eine der Eingangs-zahlen (hier: b_i) bitweise invertiert ($s = a - b$).

